

間組(株) 正 内田雅博、京都大学工学部 正 酒井哲郎

1. まえがき 昨年の第30回海岸工学講演会¹⁾で、著者の一人は実験水槽内の約1/30の一様勾配斜面上で碎ける崩れ波型碎波による碎波帯内の岸沖および鉛直方向流速を、2成分レーザードップラー流速計(LDV)を用いて同時測定し、0.1秒の移動平均からの偏差を乱れとし、岸沖および鉛直方向の乱れの相互相関としてのレイノルズ応力を算定し、波の一周期内における運動量輸送におけるレイノルズ応力項の貢献度を調べた。その結果、加速度項に比べてかなり小さく、その効果は無視しうるのではないかと述べた。この事実は、波の一周期内の特定の位相に関する結果であり、また崩れ波型碎波に限ったものであるので、その後、巻き波型碎波について同様の測定を行ない、また波の一周期の全位相について同様の検討を行なった。ここでは、その結果について述べる。

2. 実験装置、条件、方法および解析方法 (1) 実験水槽は、長さ30m、幅48cm、高さ70cmの両面ガラス張り水槽を用いた。周期Tが1.82secの規則波を発生させ、1/20

勾配(i)の斜面上で波が碎けるようにした。2本の波高計(流速測定点とその岸側39cmの点に設置)とLDVを、上下方向および波の進行方向に移動可能な台車にのせた。(2) 斜面前面の一様水深部水深h₁

は35cm、碎波点水深h_bは14.0cm、碎波高H_bは13.0cm、碎波帶幅Wは275cmである。換算冲波波形勾配H_c/L_cは0.019で、典型的な巻き波型碎波である。(3) LDVによる岸沖および鉛直方向流速の同時測定は、碎波点より45cm岸側から5cm毎に、65cm岸側まで5測線で、各測線では底面から約1.5cm上方から静水面近くまでの6~8点で行なった。(4) LDVおよび波高計の出力は0.01secでA/D変換し、各測定点毎約70sec間を図化した。図化した流速波形から流速計がドロップアウトしている区間を決定し、以後の解析から除いた。

残りの流速データの0.2secの移動平均を行ない、それからの偏差として乱れu', w'を定義した。(5) 0.01sec毎の-u'w'のデータを再び0.2secで移動平均し、これをレイノルズ応力とした。なおこのレイノルズ応力は0.01sec毎に得られるが、一周期にわたる変化の一般的傾向を把握するため、波の一周期を0.1sec毎の区間に分割し(図-1)、各区間で全波にわたって上述のレイノルズ応力を平均し、それを各位相における平均的なレイノルズ応力とした。

3. レイノルズ応力の位相変化 図-2は、碎波点から55cm岸側の鉛直方向8点でのレイノルズ応力の一周期内の変化を示す。一番上の図は、約40波の水位変動の平均を示す。崩れ波型碎波の場合¹⁾に若干見ら

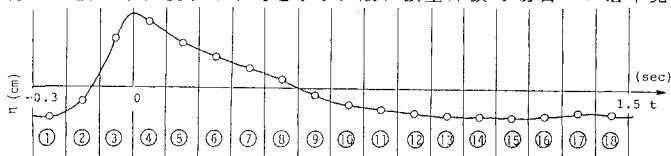


図-1 波の一周期の0.1secの区間に分割

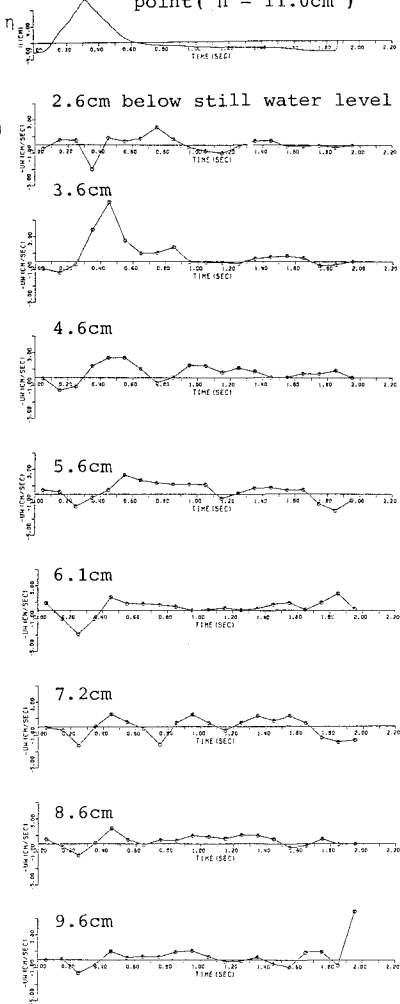
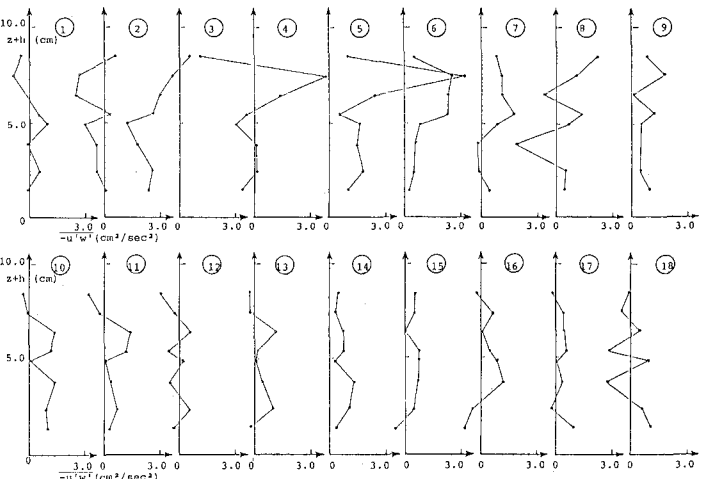


図-2 レイノルズ応力の位相変化

れた、波の峯の前面でレイノルズ応力が負から正に変化する傾向が、この場合は全ての点で見られる。他の測線での結果も含めて、巻き波型碎波の場合、全体に崩れ波型碎波の場合よりも底面近くまでレイノルズ応力が大きい傾向がある。

4. レイノルズ応力の鉛直分布 図-3

は、図-2を別の表現で示したものである。図中の各図の番号は、波の一周期を分割する 0.1sec 每の区間に對応している。この図の碎波点から 55cm 岸側の場合には、位相番号④、⑤（波の峯の位相）付近で、水面付近に強い正のレイノルズ応力の存在が目につく。他の測線の結果をも含めた一般的傾向としては、崩れ波型碎波の場合と同様、その鉛直分布は複雑である。



5. 碎波帶の波の一周期内での運動量輸

送におけるレイノルズ応力の貢献度 碎波帶での波の周期より短い時間スケールでの運動量方程式として、レイノルズ応力を含んだ次式を考える。

$$\frac{\partial u}{\partial t} + u \frac{\partial u}{\partial x} + w \frac{\partial u}{\partial z} = \frac{1}{\rho} \frac{\partial}{\partial x} (-p - \rho \bar{u}'^2) + \frac{1}{\rho} \frac{\partial}{\partial z} (-\rho \bar{u}' w')$$

期を分割する 0.1sec の区間毎（図-1）に比較する。測定点として、碎波点から 60cm 岸側（水深 10.8cm）の静水面下 5.5cm の測定点を選んだ。加速度項 $\partial u / \partial t$ の計算では、 u として全波にわたる 0.1sec の区間毎の位相平均値を用いた。移流項 $u \partial u / \partial x, w \partial u / \partial z$ の計算でも、 u, w は同様の位相平均値を用いた。 x 方向の勾配は、5cm 冲側の測線上の最も近い測定点での値との差から求めた。ただし両者の位相差を考慮した。 z 方向の勾配については、同じ測線上の約 1cm 下の測定点の値との差から求めた。レイノルズ応力項 $\partial \bar{u}'^2 / \partial x$ の計算における \bar{u}'^2 は、0.2sec の移動平均からの偏差とし

表-1 波の一周期間におけるレイノルズ方程式の各項の大きさの比較

| t (sec) | $\frac{\partial u}{\partial t}$ | $u \frac{\partial u}{\partial x}$ (cm/sec ²) | $w \frac{\partial u}{\partial z}$ | $\frac{\partial \bar{u}'^2}{\partial x}$ | $\frac{\partial \bar{u}' w'}{\partial z}$ |
|------------|---------------------------------|---|-----------------------------------|--|---|
| -0.25 | — | 5.3 | 1.4 | -0.3 | 0.4 |
| -0.15 | 91.8 | 0.3 | 9.9 | -1.1 | 0.4 |
| -0.05 | 135.8 | -5.7 | 10.5 | 0.1 | 0.7 |
| 0.05 | 49.9 | 1.3 | 1.9 | 0.5 | 1.1 |
| 0.15 | -20.0 | 8.8 | -1.2 | 1.4 | -0.0 |
| 0.25 | -56.3 | 4.4 | -6.0 | 0.9 | 0.4 |
| 0.35 | -52.3 | -0.5 | 0.5 | 0.7 | 0.9 |
| 0.45 | -58.8 | 0.5 | 3.3 | 0.6 | 1.3 |
| 0.55 | -25.3 | 3.1 | 1.2 | 0.0 | -0.2 |
| 0.65 | -6.7 | 3.8 | 0.4 | 0.6 | -1.1 |
| 0.75 | 13.4 | 1.7 | -0.1 | 1.2 | 0.2 |
| 0.85 | -0.3 | 1.7 | 0.4 | 0.1 | 1.1 |
| 0.95 | -4.7 | 1.8 | 0.8 | 0.3 | 1.4 |
| 1.05 | -24.3 | 2.9 | -0.0 | 0.6 | 1.3 |
| 1.15 | -5.6 | 0.6 | -3.5 | 0.2 | 0.7 |
| 1.25 | -8.2 | -2.1 | -9.3 | -0.2 | 0.0 |
| 1.35 | -25.6 | -1.3 | -5.1 | 0.3 | -0.1 |
| 1.45 | -12.2 | — | -5.3 | — | 0.4 |

6. 参考文献 1) 酒井哲郎・三反畠勇：碎波による乱れのレイノルズ応力について、第 30 回海岸工学講演会論文集、土木学会、pp.30-33, 1983.